

вать вторичные
влияния дав-
рфные превра-

Доклады Академии Наук СССР
1950. Том LXXV, № 3

Поступило
7 IX 1950

ХИМИЯ

Я. Е. ГЕГУЗИН и Б. Я. ПИНСЕС

**РАСЧЕТНЫЕ И ОПЫТНЫЕ ДИАГРАММЫ РАВНОВЕСИЯ
ПРОСТЕЙШИХ ДВОЙНЫХ СИСТЕМ**

(Представлено академиком Г. Г. Уразовым 26 IX 1950)

Положение кривых распада растворов на диаграмме определяется по расчету (1-4): а) температурами (T_A и T_B) и б) теплотами плавления (Q_A и Q_B) чистых компонент, а также в) величиной так называемых энергий смещения в различных фазах (U_0^I — в жидкой, U_0^{II} , U_0^{III} и т. д. в твердых фазах). Сопоставление расчета с экспериментом было пока выполнено (4) лишь для четырех двойных систем, имеющих диаграммы одного типа — с эвтектической точкой при полной нерастворимости в твердых фазах. Ниже приводится сопоставление с 20 опытными диаграммами 3 различных типов.

1. Диаграмма типа „сигара“. Условия образования такой диаграммы, согласно расчету, следующие:

а) Система должна быть двухфазной (оба компонента в твердой фазе должны обладать кристаллической решеткой одного типа, чему соответствует в приближении расчета одинаковый скачок энтропии при плавлении обеих компонент $Q_A/NkT_A = q = Q_B/NkT_B$. Здесь k — постоянная Больцмана, q — скачок энтропии в расчете на 1 частицу).

б) Должны быть выполнены неравенства:

$$\left| \frac{kq(T_B - T_A)}{U_0^I - U_0^{II}} \right| \geqslant 1, \quad (1)$$

$$2U_0^Ix(1-x) \leqslant kT, \quad 2U_0^{II}y(1-y) \leqslant kT, \quad (2)$$

где x и y — концентрации жидкого и твердого растворов.

Последние неравенства можно практически писать в форме (4):

$$U_0^I \leqslant 2kT, \quad U_0^{II} \leqslant 2kT, \quad (2a)$$

так как произведения $x(1-x)$ и $y(1-y)$ всегда $\leqslant 1/4$. Уравнения линий $x = x(T)$ и $y = y(T)$, ограничивающих область расслоения:

$$kT = \frac{U_0^Ix^2 - U_0^{II}y^2 + kqT_A}{q - \ln \frac{1-x}{1-y}} = \frac{U_0^I(1-x)^2 - U_0^{II}(1-y)^2 + kqT_B}{q - \ln \frac{x}{y}} \quad (3)$$

приближенно могут быть представлены (после разложения логариф-

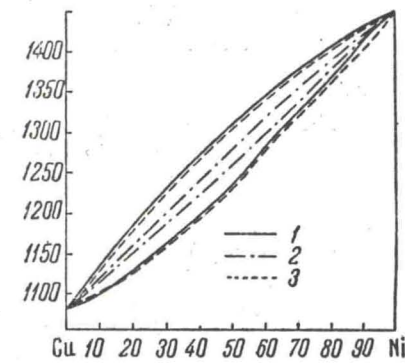


Рис. 1. Cu — Ni. 1 — экспериментальная кривая, 2 — $U_0^I = U_0^{II} = 0$, 3 — $U_0^I = U_0^{II} = 3.1 \cdot 10^{-13}$ эрг/част.

мов знаменателей в ряды по степеням ξ/η и $\xi/(1-\eta)$, где $\xi = (y-x)/2$ и $\eta = (y+x)/2$, в виде:

$$2\xi = \frac{kq(T_B - T_A) + (1-2\eta)(U_0^I - U_0^{II})}{\frac{kT}{\eta(1-\eta)} - (U_0^I + U_0^{II})}, \quad (4a)$$

$$T = T_A + \eta(T_B - T_A) + \frac{U_0^I - U_0^{II}}{kq} \eta(1-\eta). \quad (4b)$$

При $U_0^I = U_0^{II} = U_0$ они соответствуют „сигаре“, симметричной относительно прямой, соединяющей точки плавления компонент:

$$y - x = 2\xi = \frac{kq(T_B - T_A)}{\frac{kT}{\eta(1-\eta)} - 2U_0};$$

$$T = T_A + \frac{x+y}{2}(T_B - T_A). \quad (5)$$

Расчетная диаграмма для системы медь — никель, вычисленная по уравнению (5), показана на рис. 1.

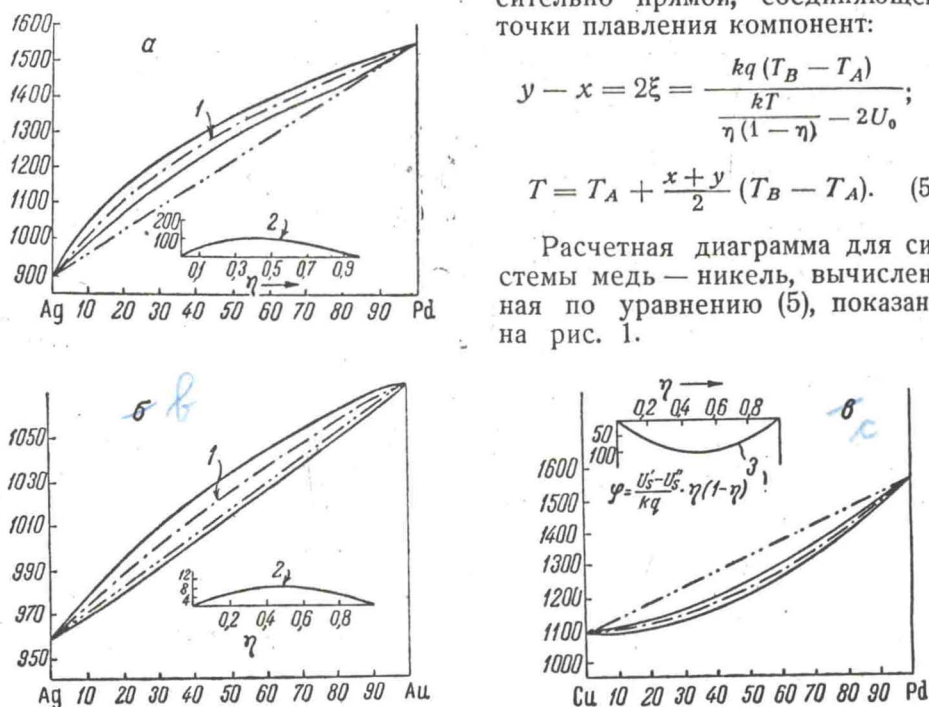


Рис. 2. а — Ag—Pd, б — Ag—Au, в — Cu—Pd. 1 — $T = \varphi(\eta)$, 2 — $\varphi = \frac{U_0^I - U_0^{II}}{kq} \eta(1-\eta)$, 3 — $\varphi = \frac{U_s^I - U_s^{II}}{kq} \eta(1-\eta)$

В системе никель — кольбат экспериментально известно, что ширина области расслоения во всем интервале концентраций практически равна нулю. Если принять $U_0^I = U_0^{II} = 0$, то расчетная ширина области расслоения в этой системе, вычисленная по формуле (5), не превышает $2\xi = 6 \cdot 10^{-5}$, что согласуется с результатами эксперимента.

Упомянутые две диаграммы относятся к симметричным „сигарам“. Когда $U_0^I \neq U_0^{II}$ и выполнены неравенства (4) и (2), область расслоения, согласно формуле (4), должна иметь форму несимметричной „изогнутой сигары“, причем средняя линия „сигары“, т. е. $T = T(\eta)$, обращена выпуклостью к оси абсцисс при $U_0^I < U_0^{II}$ и вогнутой стороной, если $U_0^I > U_0^{II}$.

Пользуясь экспериментально установленными диаграммами и построив на них линии $T = T(\eta)$, можно проверить соответствие этих линий формуле (4б), а также определить, по отклонению от линейного хода, величину $\Delta U_0 = U_0^I - U_0^{II}$.

Величины ΔU_0 , 0,05 и для Для вс $\varphi = \frac{\Delta U}{kq} \eta$ рассматрив гий смеше чете приб даны диаг ренных сис

В литер данные о золото — п распада р зуют „аси Расчет ве нению кри дает для $= 0,85 \cdot 10^{-1}$ однако, не равенство

куда следу должна су $y = x = 0,9$ что расход измерений, сплошной ной — расч траций, бл в интервал чат вдоль

2. Диаграммы

$$x_0 = y_0$$

Система
Fe — Pd
Fe — V
Rb — K
Ni — Pd
Fe — Cr
Sb — As
Au — Cu
Au — Ni
Cs — K
Cs — Rb

В это с тии смеше прежде все

Данные равных кон лись по (8)

де $\xi = (y - x)/2$

(4a)

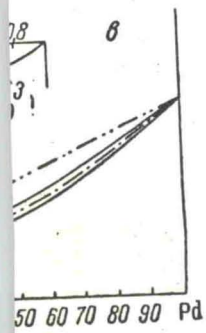
(4b)

етричной отно-
сочиняющей
омпонент:

$$\frac{q(T_B - T_A)}{kT} \frac{1}{1-\eta} - 2U_0;$$

$T_B - T_A$. (5)

диаграмма для си-
стемы, вычислен-
но (5), показана



$$= \frac{U_0^I - U_0^{II}}{kq} \eta(1-\eta),$$

стно, что ширину практической области (5), не превышающей „сигары“.

бласть расслоения симметричной, т. е. $T = T(\eta)$, вогнутой стороны

граммами и соответствие этих

Величины $\Delta U = (U_0^I - U_0^{II}) \cdot 10^{13}$ эрг/част.: для Ag-Pd 0,57; для Ag-Au 0,05 и для Cu-Pd 0,54.

Для всех трех систем критерий (1) выполнен и расчетная кривая $\varphi = \frac{\Delta U}{kq} \eta (1-\eta)$ хорошо совпадает с экспериментальной, что может рассматриваться как свидетельство независимости разности энергий смешения от концентрации (т.е. достаточности взятого при расчете приближения). На рис. 2 даны диаграммы трех рассмотренных систем.

В литературе опубликованы (6) данные о диаграмме равновесия золото — палладий, где кривые распада растворов также образуют „асимметричную сигару“. Расчет величины ΔU_0 по отклонению кривой $T = T(\eta)$ от прямой дает для этой системы $\Delta U_0 = 0,85 \cdot 10^{-13}$ эрг/част.; критерий (1),

однако, не выполнен. Имеет место равенство $\frac{kq(T_B - T_A)}{U_0^I - U_0^{II}} = 0,81$, от-

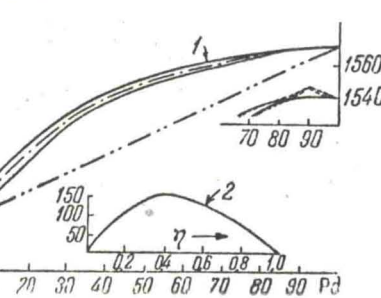


Рис. 3. Au-Pd. 1 — $T = \varphi(\eta)$, 2 — $\varphi = \frac{U_0^I - U_0^{II}}{kq} \eta (1-\eta)$

куда следует, что на диаграмме должна существовать точка равных концентраций (см. ниже) при $y = x = 0,905$. По экспериментальной диаграмме легко установить, что расхождение в данном случае может объясняться неточностью измерений, ибо область расслоения вблизи $x = 1$ очень узка. На рис. 3 сплошной линией показана экспериментальная диаграмма и пунктирной — расчетная. На экспериментальной диаграмме в области концентраций, близких к единице, вообще не дана область расслоения; в интервале концентраций $\sim 15\%$ твердый и жидкий растворы граничат вдоль линии, что, как известно, невозможно.

2. Диаграммы с точкой равных концентраций. Из уравнений (3) следует, что в точке равных концентраций

$$x_0 = y_0 = \frac{1}{2} \left[1 - \frac{kq(T_B - T_A)}{U_0^I - U_0^{II}} \right], \quad T = T_m = T_A - \frac{U_0^I - U_0^{II}}{kq} x_0^2. \quad (6)$$

Таблица 1

Система	T_A	T_B	x_0	T_m расч.	T_m эксп.
Fe — Pd	1801	1827	0,485	1593	1583
Fe — V	1801	1988	0,350	1726	1743
Rb — K	312	338,5	0,340	301,5	305,6
Ni — Pd	1725	1827	0,450	1519	1510
Fe — Cr	1801	2103	0,230	1806	1783
Sb — As	903	1103	0,240	885	878
Au — Cu	1336	1356	0,430	1310	1162
Au — Ni	1336	1725	0,400	1025	1223
Cs — K	299	338,5	0,44	237,4	233
Cs — Rb	299	312	0,42	284,7	278

Критерий образова-
ния диаграммы этого
типа:

$$\left| \frac{kq(T_B - T_A)}{U_0^I - U_0^{II}} \right| < 1 \quad (7)$$

(наряду с выполнением неравенств (2) или (2a)).

Согласно (6) в точке равных концентраций

$$T_m = T_A - (T_B - T_A) \frac{x_0^2}{1 - 2x_0}. \quad (8)$$

В это соотношение между T_m и x_0 не входят неизвестные энергии смешения, поэтому правильность расчета может быть проверена прежде всего по выполнению соотношения (8).

Данные для 10 двойных систем, образующих диаграммы с точкой равных концентраций, приведены в табл. 1 (T_m расчетные определялись по (8) с помощью экспериментальных значений x_0).

I think this should be SH,
not SHCH (mixing, not displacement)

Расчетные и экспериментальные значения T_m хорошо согласуются для всех рассматриваемых систем, кроме двух: золото — медь и золото — никель, где имеет место наибольшее отличие атомных радиусов компонент и, следовательно, максимальна „энергия искажения решетки“⁽²⁾. Отклонения от соотношения (8) для системы Au—Cu и Au—Ni качественно согласуются с ожидаемыми при учете указанной энергии искажения.

3. Диаграммы с эвтектической точкой. в общем случае трехфазные (например, одна жидккая и две различные по симмет-

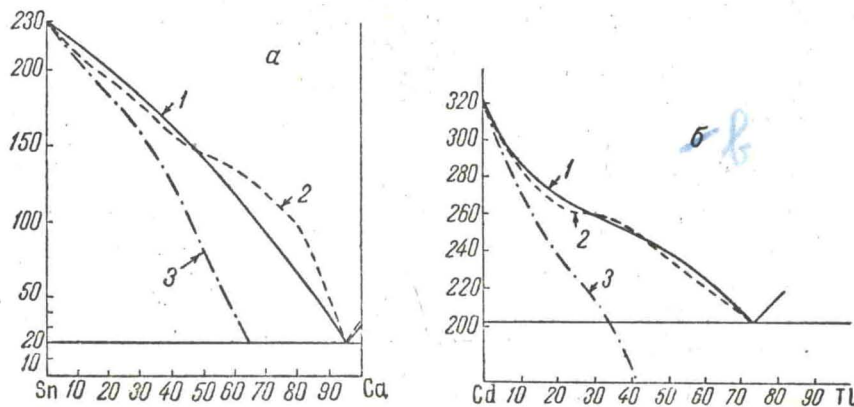


Рис. 4. *a* — Sn — Ga, $U_0 = 0,85 \cdot 10^{-13}$ эрг/част.; *б* — Cd — Tl, $U_0 = 1,28 \cdot 10^{-13}$ эрг/част.
1 — экспериментальная кривая, 2 — расчетная кривая, 3 — $U_0 = 0$

рии кристаллические фазы) и описываются четырьмя уравнениями⁽³⁾, уравнения (17)). При полном отсутствии растворимости в кристаллических фазах линии „ликвидус“ описываются уравнениями

Таблица 2

$$kT = \frac{U_0^1 x^2 + kq_3 T_A}{q_3 - \ln(1-x)} = \frac{U_0^1 (1-x)^2 + kq_2 \tau_B}{q_2 - \ln x} \quad (9)$$

Соответствие уравнений (9) опытным данным нами проверялось для четырех систем*: олово — галлий, алюминий — германий, кадмий — таллий, золото — сурьма (см. рис. 4). В табл. 2 сведены данные об энергиях смешения.

Согласие расчета с экспериментом можно считать удовлетворительным. Табл. 2 показывает, что критерий $U_0^1 \leq 2kT$ выполняется.

Физико-технический институт
Академии наук УССР
Харьков

Поступило
26 VI 1950

ЦИТИРОВАННАЯ ЛИТЕРАТУРА

- ¹ Б. Я. Пинес, ЖТЭФ, 13, 11—12 (1943). ² Б. Я. Пинес, Изв. сектора физ.-хим. анализа, 16, в. 1 (1943). ³ Б. Я. Пинес, ЖФХ, № 5 (1949). ⁴ В. И. Данилов и Д. С. Каменецкая, ЖФХ, № 1 (1948). ⁵ М. Хансен, Структуры бинарных сплавов, М.—Л., 1941.

* При расчете диаграммы кадмий — таллий пренебрегали растворимостью кадмия в таллии; на диаграмме золото — сурьма производили лишь расчет левой ветви „ликвидус“ и положения эвтектической точки.